

## 附录 A 矢量的乘积和对称性

### 立体角 曲线坐标系

#### 1. 矢量的标积

设  $A$  和  $B$  是两个任意矢量, 它们的标积 (常用  $A \cdot B$  表示, 故又称点乘) 的解析定义为如下标量:

$$A \cdot B = A_x B_x + A_y B_y + A_z B_z. \quad (A.1)$$

由此定义不难看出, 点乘是服从交换律和分配律的:

$$A \cdot B = B \cdot A, \quad (\text{交换律}) \quad (A.2)$$

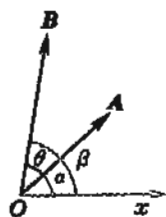
$$A \cdot (B + C) = A \cdot B + A \cdot C, \quad (\text{分配律}) \quad (A.3)$$

下面看点乘的几何意义。把  $A$ 、 $B$  两矢量的起点  $O$  叠在一起, 二者决定一个平面, 取此平面为直角坐标系的  $xy$  面, 从而  $A_z = B_z = 0$ 。令  $A$ 、 $B$  与  $O$  轴的夹角分别为  $\alpha$ 、 $\beta$  (见图 A-1), 则  $A_x = A \cos \alpha$ ,  $A_y = A \sin \alpha$ ,  $B_x = B \cos \beta$ ,  $B_y = B \sin \beta$ , 标积

$$\begin{aligned} A \cdot B &= A_x B_x + A_y B_y \\ &= AB(\cos \alpha \cos \beta + \sin \alpha \sin \beta) \\ &= AB \cos(\beta - \alpha), \end{aligned}$$

即  $A \cdot B = AB \cos \theta,$

(A.4)



式中  $\theta = \beta - \alpha$  为两矢量之间的夹角。(A.4) 式可看作是标积的几何定义。从这个定义可立即看出:  $A$ 、 $B$  平行时,  $\theta$

$= 0$ , 标积  $A \cdot B = AB$ ;  $A$ 、 $B$  反平行时,  $\theta = \pi$ , 标积  $A \cdot B = -AB$ ;  $A$ 、 $B$  垂直时,  $\theta = \pi/2$ , 标积  $A \cdot B = 0$ 。一般说来,  $\theta$  为锐角时, 标积取正值;  $\theta$  为钝角时, 标积取负值。一个矢量  $A$  与自身的标积  $A \cdot A = A^2$ 。

#### 2. 矢量的矢积

设  $A$  和  $B$  是两个任意矢量, 它们的矢积 (常用  $A \times B$  表示, 故又称叉乘) 的解析定义为如下矢量:

$$\begin{aligned} A \times B &= (A_y B_z - A_z B_y)i + (A_z B_x - A_x B_z)j + (A_x B_y - A_y B_x)k \\ &= \begin{vmatrix} i & j & k \\ A_x & A_y & A_z \\ B_x & B_y & B_z \end{vmatrix}. \end{aligned} \quad (A.5)$$

由此定义不难看出, 点乘是服从反交换律和分配律的:

$$A \times B = -B \times A, \quad (\text{反交换律}) \quad (A.6)$$

$$A \times (B + C) = A \times B + A \times C, \quad (\text{分配律}) \quad (A.7)$$

下面看叉乘的几何意义。同前,把  $A$ 、 $B$  两矢量的起点  $O$  叠在一起,二者决定一个平面,取此平面为直角坐标系的  $xy$  面,从而  $A_z = B_z = 0$ 。令  $A$ 、 $B$  与  $Ox$  轴的夹角分别为  $\alpha$ 、 $\beta$ , 则  $A_x = A \cos \alpha$ ,  $A_y = A \sin \alpha$ ,  $B_x = B \cos \beta$ ,  $B_y = B \sin \beta$ , 矢积

$$\begin{aligned} A \times B &= (A_x B_y - A_y B_x) k = AB (\cos \alpha \sin \beta - \sin \alpha \cos \beta) k \\ &= AB \sin(\beta - \alpha) k, \end{aligned}$$

即矢积

$$C = A \times B = AB \sin \theta k, \quad (\text{A. 8})$$

式中  $\theta = \beta - \alpha$  为两矢量之间的夹角。当  $\beta > \alpha$  时,  $\theta > 0$ ,  $C$  沿  $k$  的正方向; 当  $\beta < \alpha$  时,  $\theta < 0$ ,  $C$  沿  $k$  的负方向。由于我们采用的是右手坐标系,  $C$  的指向可用如图 A-2a 所示的右手定则来判断: 设想矢量  $A$  沿小于  $180^\circ$  的角度转向矢量  $B$ 。将右手的四指弯曲, 代表上述旋转方向, 则伸直的姆指指向它们的矢积  $C$ 。

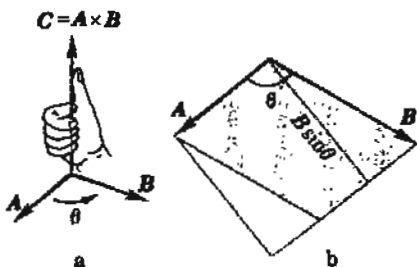


图 A-2 矢量的矢积

(A. 8) 式可看作是矢积的几何意义: 矢量  $A$ 、 $B$  的矢积  $C = A \times B$  的数值  $C = AB \sin \theta$ , 正好是由  $A$ 、 $B$  为边组成的平行四边形的面积 (见图 A-2b);  $C$  的方向与  $A$  和  $B$  组成的平面垂直, 其指向由上述右手定则来规定。从这个定义可立即看出:  $A$ 、 $B$  平行或反平行时,  $\theta = 0$  或  $\pi$ , 矢积  $C = A \times B = 0$ ;  $A$ 、 $B$  垂直时,  $\theta = \pi/2$ , 矢积的数值  $C = |A \times B| = AB$  最大。一个矢量  $A$  与自身的矢积  $A \times A = 0$ 。

### 3. 矢量的三重积

物理学中经常遇到矢量的三重积。最常见的三重积有以下两个。

#### (1) 三重标积 $A \cdot (B \times C)$

这三重积是个标量。不难验证, 此三重积的解析表达式为

$$A \cdot (B \times C) = \begin{vmatrix} A_x & A_y & A_z \\ B_x & B_y & B_z \\ C_x & C_y & C_z \end{vmatrix}. \quad (\text{A. 9})$$

从几何上看,因  $|B \times C|$  是以  $B$  和  $C$  为边组成平行四边形的面积,矢积  $B \times C$  的方向沿其法线,故而再与  $A$  点乘,相当于再乘上  $A$  在法线上的投影。亦即,这三重积的绝对值等于以  $A$ 、 $B$ 、 $C$  三矢量为棱组成的平行六面体的体积(见图 A-3),其正负号与三矢量的循环次序有关。由于计算平行六面体的体积与取哪一面为底无关,点乘又是可交换的,所以  $A$ 、 $B$ 、 $C$  三矢量的轮换,以及  $\cdot$  和  $\times$  的位置对调,都不影响此三重积的计算结果。唯一要注意的是三矢量的循环次序不能变,否则差一个负号。概括起来写成公式,我们有

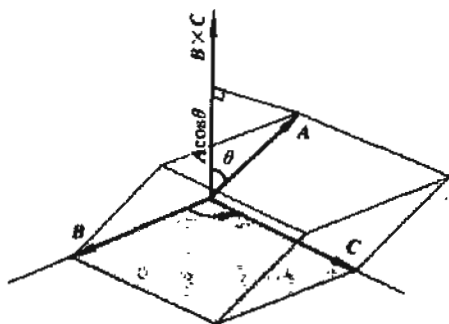


图 A-3 矢量的三重标积

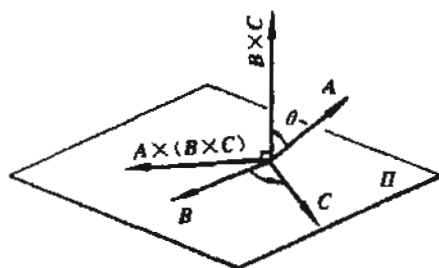


图 A-4 矢量的三重矢积

$$\begin{aligned}
 A \cdot (B \times C) &= B \cdot (C \times A) = C \cdot (A \times B) \\
 &= (A \times B) \cdot C = (B \times C) \cdot A = (C \times A) \cdot B \\
 &= -A \cdot (C \times B) = -C \cdot (B \times A) = -B \cdot (A \times C) \\
 &= -(A \times C) \cdot B = -(C \times B) \cdot A = -(B \times A) \cdot C. \quad (A.10)
 \end{aligned}$$

从解析表达式(A.9)来看(A.10)式的成立就更显然了。

最后提请注意:在  $A$ 、 $B$ 、 $C$  三个矢量中有任何两个平行或反平行时,三重标积为 0。

## (2) 三重矢积 $A \times (B \times C)$

这三重积是个矢量。矢积  $B \times C$  与  $B$ 、 $C$  组成的平面  $\Pi$  垂直,而  $A$  与它的矢积又回到  $\Pi$  平面内。故矢量  $A \times (B \times C)$  与  $B$ 、 $C$  共面(见图 A-4)。从而前者是后面二者的线性组合:  $A \times (B \times C) = a_1 B + a_2 C$ 。用矢量的解析表达式可以直接验证,  $a_1 = A \cdot C$ ,  $a_2 = -A \cdot B$ , 亦即存在列恒等式:

$$A \times (B \times C) = (A \cdot C)B - (A \cdot B)C. \quad (A.11)$$

这是有关这三重积最重要的恒等式。

#### 4. 矢量的镜像反射对称性 极矢量和轴矢量

对称性原理是普遍的原理,它统帅着自然界各个领域,在当代物理学中有着广泛应用。有关对称性和对称性原理,请参阅《新概念物理教程·力学》第三章 §5。简言之,一个系统在任何操作或变换下的不变性,都是“对称性”,例如绕固定轴旋转的不变性是轴对称性,绕固定点旋转的不变性是球对称性,沿特定方向平移的不变性是平移对称性,等等。在对称的条件下必然有对称的结果,例如点电荷具有球对称性,故电场的分布必然是球对称的,这便是“对称性原理”。在普通物理的各门课中电磁学里对称性原理的应用特别突出。

除旋转、平移等操作外,还有一种几何变换具有特殊的重要作用,即“空间反射”操作,在空间反射变换下的不变性叫做镜像对称性。

如图 A-5 所示,在镜面  $\Pi$  前取一右手坐标系  $Oxyz$ ,它在镜面后成的像为左手坐标系  $O'x'y'z'$ 。如果  $x$  轴和  $y$  轴与  $\Pi$  平行,  $z$  轴与之垂直,则  $x'$  轴、 $y'$  轴分别与  $x$  轴、 $y$  轴平行,  $z'$  轴与  $z$  轴反平行。这便是镜像反射操作或镜像反射变换。

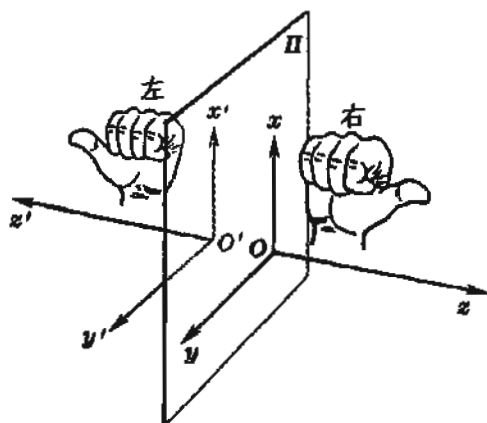


图 A-5 坐标系与极矢量的镜像变换

物理学中有各种矢量,它们在镜像反射操作下怎样变换?对于位矢  $r$  来说,这是清楚的:与镜面  $\Pi$  垂直的分量反向,平行分量不变。在电磁学中与  $r$  具有相同变换规律的有电场强度  $E$ 、电偶极矩  $p$  等。但磁感应强度  $B$ 、磁矩  $m$  等矢量在空间反射操作下服从不同的变换规律。在空间反射操作下,小线圈里的电流的变换如图 A-6 所示,从而按照右手定则磁感应强度  $B$ 、磁矩  $m$  等矢量与镜面垂直的分量不变,平行的分量却反向。通常把在空间反射变换下服从前

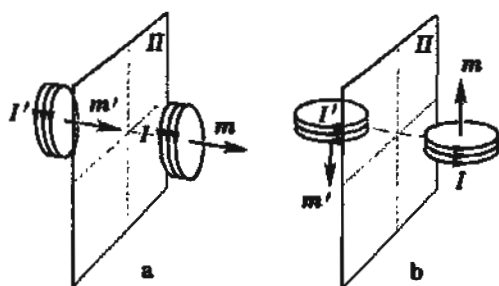


图 A-6 轴矢量的镜像变换

一类变换规律的矢量叫做极矢量,后一类的叫做轴矢量。

应指出,两个极矢量叉乘,得到的是轴矢量。譬如矢量  $a(a_x, a_y, a_z)$  和  $b(b_x, b_y, b_z)$  都是极矢量,  $c(c_x, c_y, c_z) = a \times b$  是它们的叉乘:

$$\begin{cases} c_x = a_y b_z - a_z b_y, \\ c_y = a_z b_x - a_x b_z, \\ c_z = a_x b_y - a_y b_x. \end{cases}$$

取  $z$  轴沿镜面的法向。在镜像变换下

$$\begin{cases} \bar{a}_x = a_x, & \bar{a}_y = a_y, & \bar{a}_z = -a_z; \\ \bar{b}_x = b_x, & \bar{b}_y = b_y, & \bar{b}_z = -b_z. \end{cases}$$

而

$$\begin{cases} \bar{c}_x = \bar{a}_y \bar{b}_z - \bar{a}_z \bar{b}_y = -a_y b_z + a_z b_y = -c_x, \\ \bar{c}_y = \bar{a}_z \bar{b}_x - \bar{a}_x \bar{b}_z = -a_z b_x + a_x b_z = -c_y, \\ \bar{c}_z = \bar{a}_x \bar{b}_y - \bar{a}_y \bar{b}_x = a_x b_y - a_y b_x = c_z. \end{cases}$$

即  $c(c_x, c_y, c_z)$  是个轴矢量。

实际上许多轴矢量都能写成两个极矢量叉乘的形式。例如毕奥-萨伐尔公式(2.2)中

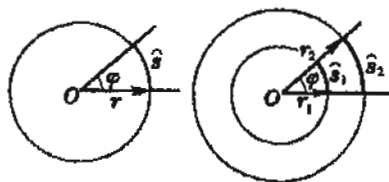
$$\mathbf{B} = \frac{\mu_0}{4\pi} \oint_{(L_1)} \frac{I_1 d\mathbf{l}_1 \times \hat{\mathbf{r}}_{12}}{r_{12}^2}$$

$d\mathbf{l}_1$  和  $\hat{\mathbf{r}}_{12}$  是极矢量,而由它们叉乘构成的  $\mathbf{B}$  是轴矢量。

## 5. 立体角

我们知道,平面角  $\varphi$  的大小可以用“弧度”来量度。其办法如图 A-7a 所示,以  $\varphi$  角的顶点  $O$  为中心,任意长度  $r$  为半径作圆,则  $\varphi$  角所对的弧长  $\hat{s}$  与半径  $r$  之比即为  $\varphi$  角的弧度(rad):

$$\varphi = \frac{\hat{s}}{r} \text{ rad.}$$



a 弧度

b  $\hat{s}$  正比于  $r$

图 A-7 平面角

因为整个圆周的长度为  $2\pi r$ ,故圆周角是  $2\pi \text{ rad}$ 。半径  $r$  可以任意选取的根据如下: 因为以不同的半径  $r_1$ 、 $r_2$  作圆时,  $\varphi$  角所对的弧长  $\hat{s}_1$ 、 $\hat{s}_2$  与半径成正比(见图 A-7b),它们的比值与  $r$  的选择无关。

现在来考虑三维空间的情形。如图 A-8a,在球面上取一面元  $dS$ ,由它的边缘上各点引直线到球心  $O$ ,这样构成一个锥体。这锥体的“顶角”是立体的,称为立体角。仿照用弧度量度平面角的办法,用  $dS$  的面积和半径  $r$  的平方之比来量度它在球心所张立体角  $d\Omega$  的大小,这种量度方法所用的单位叫球面度(sr):

$$d\Omega = \frac{dS}{r^2} \text{ sr.} \quad (\text{A. 12})$$

因为整个球面的面积是  $4\pi r^2$ , 所以它所张的立体角是  $4\pi \text{ rad.}$

这样量度立体角的方法也和半径  $r$  的选择无关。从图 A-8b 可以看出, 以不同的半径  $r_1$ 、 $r_2$  作同心球面  $S_1$ 、 $S_2$ 。为了直观, 不妨把立体角  $d\Omega$  所对的面元  $dS_1$  和  $dS_2$  取成小方块。由于  $dS_1$  和  $dS_2$  的边长与半径成正比, 所以它们的面积与半径的平方成正比, 即

$$\frac{dS_1}{r_1^2} = \frac{dS_2}{r_2^2}$$

a 球面度      b  $dS$  正比于  $r^2$

图 A-8 立体角

这个比值与半径的选择无关。

在一般的情形里, 人们需要讨论面元  $dS$  对任意顶点  $O$  所张的立体角  $d\Omega$ , 如图 A-9 所示。这时  $O$  并不是球心,  $dS$  到  $O$  的连线并不与它垂直。如果它是斜的, 应计算它在垂直径矢方向的投影面积  $dS^* = dS \cos\theta$ , 这里  $\theta$  是  $dS$  的法线与径矢之间的夹角。为了把上述关系表达得更简洁, 我们可以引进面元矢量  $d\mathbf{S}$  的概念: 在面元  $dS$  的法线方向取一单位矢量  $\mathbf{n}$ , 面元矢量定义为  $d\mathbf{S} = dS \mathbf{n}$ , 即  $d\mathbf{S}$  的大小等于  $dS$ , 方向沿法向  $\mathbf{n}$ 。这样一来, 立体角的公式 (A. 12) 推广为:

$$d\Omega = \frac{\hat{\mathbf{r}} \cdot d\mathbf{S}}{r^2}, \quad (\text{A. 13})$$

式中  $\hat{\mathbf{r}}$  为单位径矢。

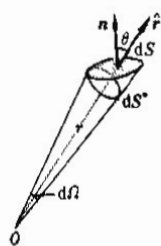


图 A-9 立体角的矢量表示

## 6. 一般正交曲线坐标系的概念

除直角坐标系外, 在物理学中还常常根据被研究物体的几何形状, 采用其它的坐标系, 其中用到最多的是柱坐标系和球坐标系。

任何描述三维空间的坐标系都要有三个独立的坐标变量  $u_1, u_2, u_3$ , 例如在直角坐标系中  $u_1 = x, u_2 = y, u_3 = z$ . 方程式

$$\begin{cases} u_1 = \text{常量}, \\ u_2 = \text{常量}, \\ u_3 = \text{常量}, \end{cases} \quad (\text{A. 14})$$

代表三组曲面(或平面),称为坐标面。例如在直角坐标系中的坐标面就是分别与  $x$ 、 $y$ 、 $z$  轴垂直的三组平行平面(见图 A-10),一般坐标面是曲面。

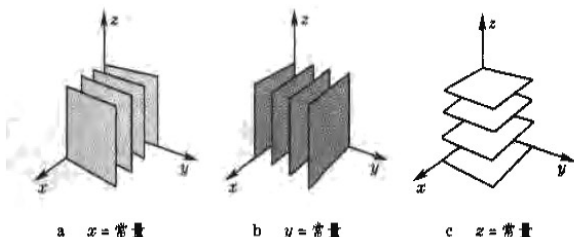
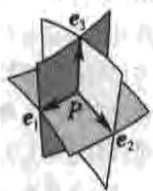


图 A-10 直角坐标系的坐标面

若三组坐标面在空间每一点正交,则坐标面的交线(一般是曲线)也在空间每一点正交(图 A-11),这种坐标系叫做正交曲线坐标系。在空间每一点  $P$  可沿坐标面的三条交线方向各取一个单位矢量(矢量指向  $u_1$ 、 $u_2$ 、 $u_3$  增加的方向,顺序  $1 \rightarrow 2 \rightarrow 3$  满足右旋法则),这三个矢量  $e_1$ 、 $e_2$ 、 $e_3$  叫做坐标系的单位基矢。在直角坐标系中的单位基矢通常写作  $e_1 = i$ 、 $e_2 = j$ 、 $e_3 = k$ ,它们的方向是不变的。但在一般正交曲线坐标系中  $e_1$ 、 $e_2$ 、 $e_3$  的方向可能逐点变化,它们只构成局部的正交右旋系。

沿三个基矢的线段元  $dl_1$ 、 $dl_2$ 、 $dl_3$  分别与三坐标变量的微分  $du_1$ 、 $du_2$ 、 $du_3$  成正比:

$$\begin{cases} dl_1 = h_1 du_1, \\ dl_2 = h_2 du_2, \\ dl_3 = h_3 du_3. \end{cases} \quad (A.15)$$



例如在直角坐标系中  $h_1 = h_2 = h_3 = 1$ ,  $dl_1 = dx$ ,  $dl_2 = dy$ ,  $dl_3 = dz$ ,但在一般坐标系中  $h_1$ 、 $h_2$ 、 $h_3$  不仅不一定等于 1,而且还可能是坐标变量  $u_1$ 、 $u_2$ 、 $u_3$  的函数(参见下文)。

## 7. 柱坐标系

柱坐标系相当于把直角坐标系中的  $x$ 、 $y$  换为二维极坐标  $\rho$ 、 $\varphi$ ,同时保留  $z$  轴(见图 A-12)。柱坐标变量  $u_1 = \rho$ 、 $u_2 = \varphi$ 、 $u_3 = z$  与直角坐标变量  $x$ 、 $y$ 、 $z$  的变换关系如下:

$$\begin{cases} x = \rho \cos \varphi, \\ y = \rho \sin \varphi, \\ z = z, \end{cases} \quad \begin{cases} \rho = \sqrt{x^2 + y^2}, \\ \varphi = \arctan \frac{y}{x}, \\ z = z. \end{cases} \quad (A.16)$$

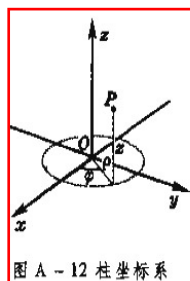


图 A-12 柱坐标系

柱坐标系三个变量的取值范围是



$$0 \leq \rho < +\infty, \quad 0 \leq \varphi < 2\pi, \quad -\infty < z < +\infty. \quad (\text{A. 17})$$

柱坐标系的坐标面为

(i)  $\rho = \text{常量}$ , 这是以  $z$  轴为轴线的圆柱面 (图 A - 13a),

(ii)  $\varphi = \text{常量}$ , 这是通过  $z$  轴的半平面 (图 A - 13b),

(iii)  $z = \text{常量}$ , 这是与  $z$  轴垂直的平面 (图 A - 13c)。

三组坐标面彼此正交, 从而三个基矢  $\mathbf{e}_1 = \mathbf{e}_\rho$ ,  $\mathbf{e}_2 = \mathbf{e}_\varphi$ ,  $\mathbf{e}_3 = \mathbf{e}_z$  彼此正交。一个矢量在柱坐标系中的表示式是

$$\mathbf{A} = A_\rho \mathbf{e}_\rho + A_\varphi \mathbf{e}_\varphi + A_z \mathbf{e}_z, \quad (\text{A. 18})$$

式中  $A_\rho$ 、 $A_\varphi$ 、 $A_z$  分别称为  $A$  的  $\rho$  分量、 $\varphi$  分量和  $z$  分量。

在柱坐标系中沿基矢方向的三个线段为

$$dl_\rho = d\rho, \quad dl_\varphi = \rho d\varphi, \quad dl_z = dz; \quad (\text{A. 19})$$

即

$$h_\rho = 1, \quad h_\varphi = \rho, \quad h_z = z. \quad (\text{A. 20})$$

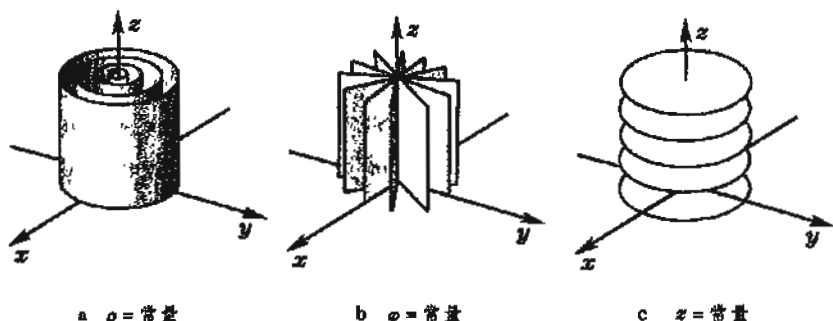


图 A - 13 柱坐标系的坐标面

由  $\rho$ 、 $\varphi$ 、 $\varphi + d\varphi$ 、 $z$ 、 $z + dz$  六个坐标面围成的曲边六面体上柱面元的面积是 (见图 A - 14 中有阴影的面元)

$$dS = dl_\varphi dl_z = \rho d\varphi dz, \quad (\text{A. 21})$$

这体积元的体积为

$$dV = dl_\rho dl_\varphi dl_z = \rho d\rho d\varphi dz. \quad (\text{A. 22})$$

## 8. 球坐标系

球坐标系的三个坐标变量是径矢的长度  $r$ 、径矢与  $z$  轴的夹角  $\theta$  和径矢在  $xy$  面上的投影与  $x$  轴的夹角  $\varphi$  (见图 A - 15)。球坐标变量  $u_1 = r$ 、 $u_2 = \theta$ 、 $u_3 = \varphi$  与直角坐标变量  $x$ 、 $y$ 、 $z$  的变换关系如下:

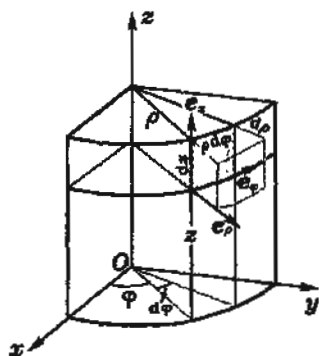


图 A - 14 柱坐标系的面元与体积元



$$\begin{cases} x = r \sin \theta \cos \varphi, \\ y = r \sin \theta \sin \varphi, \\ z = r \cos \theta. \end{cases}$$

$$\begin{cases} r = \sqrt{x^2 + y^2 + z^2}, \\ \theta = \arccos \frac{z}{\sqrt{x^2 + y^2 + z^2}}, \\ \varphi = \arctan \frac{y}{x}. \end{cases}$$

(A. 23)

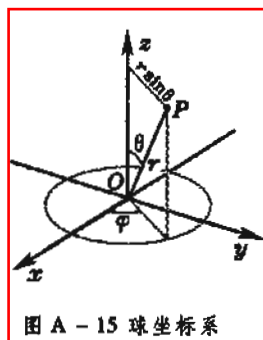


图 A-15 球坐标系

球坐标系三个变量的取值范围是

$$0 \leq r < +\infty, \quad 0 \leq \theta \leq \pi, \quad 0 \leq \varphi < 2\pi. \quad (\text{A. 24})$$

球坐标系的坐标面为

- (i)  $r = \text{常量}$ , 这是以原点为中心的球面 (图 A-16a),
- (ii)  $\theta = \text{常量}$ , 这是以原点为中心的圆锥面 (图 A-16b),
- (iii)  $\varphi = \text{常量}$ , 这是通过  $z$  轴的半平面 (图 A-16c)。

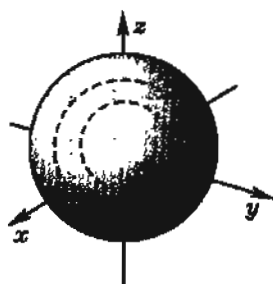
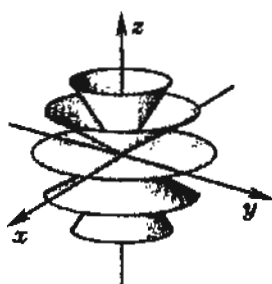
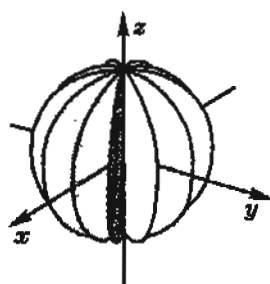
a  $r = \text{常量}$ b  $\theta = \text{常量}$ c  $\varphi = \text{常量}$ 

图 A-16 球坐标系的坐标面

三组坐标面彼此正交, 从而三个基矢  $\mathbf{e}_1 = \mathbf{e}_r$ 、 $\mathbf{e}_2 = \mathbf{e}_\theta$ 、 $\mathbf{e}_3 = \mathbf{e}_\varphi$  彼此正交。一个矢量在球坐标系中的表示式是

$$\mathbf{A} = A_r \mathbf{e}_r + A_\theta \mathbf{e}_\theta + A_\varphi \mathbf{e}_\varphi, \quad (\text{A. 25})$$

$A_r$ 、 $A_\theta$ 、 $A_\varphi$  分别称为  $A$  的  $r$  分量、 $\theta$  分量和  $\varphi$  分量。

在球坐标系中沿基矢方向的三个线段元为

$$dl_r = dr, \quad dl_\theta = r d\theta, \quad dl_\varphi = r \sin \theta d\varphi; \quad (\text{A. 27})$$

$$\text{即} \quad h_r = 1, \quad h_\theta = r, \quad h_\varphi = r \sin \theta. \quad (\text{A. 28})$$

$r$ 、 $r+dr$ 、 $\theta$ 、 $\theta+d\theta$ 、 $\varphi$ 、 $\varphi+d\varphi$  六个坐标面围成的曲边六面体上柱面元的面积是 (见图 A-17 中有阴影的面元)

$$dS = dl_\theta dl_\varphi = r^2 \sin\theta d\theta d\varphi \quad (\text{A. 29})$$

这体积元的体积为

$$\begin{aligned} dV &= dl_r dl_\theta dl_\varphi \\ &= r^2 \sin\theta dr d\theta d\varphi. \end{aligned} \quad (\text{A. 30})$$

例题 1 求整个球面对中心所张的立体角。

$$\begin{aligned} \text{解: 立体角 } \Omega &= \oint_{(\text{球面})} \frac{dS}{r^2} \\ &= \int_0^\pi \sin\theta d\theta \int_0^{2\pi} d\varphi = 4\pi. \quad \blacksquare \end{aligned}$$

例题 2 求半径为  $R$  的球体的体积。

$$\begin{aligned} \text{解: 体积 } V &= \iiint_{(\text{球体})} dV \\ &= \int_0^R r^2 dr \int_0^\pi \sin\theta d\theta \int_0^{2\pi} d\varphi = \frac{4\pi R^3}{3}. \quad \blacksquare \end{aligned}$$

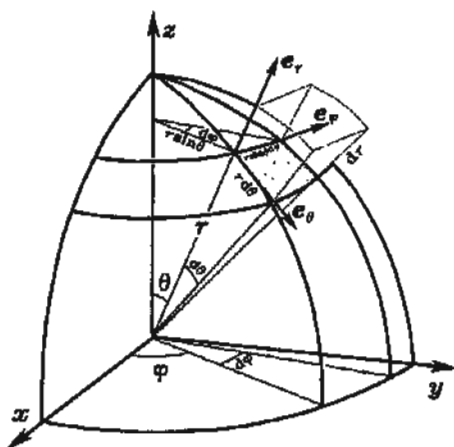


图 A-17 球坐标系的面元与体积元

## 附录 B 矢量分析提要

### 1. 标量场和矢量场

#### (1) 标量场

所谓标量场,就是在空间各点存在着一个标量 $\Phi$ ,它的数值是空间位置的函数。在一般的情况下,标量场是分布在三维空间里的。若采用三维的直角坐标 $(x, y, z)$ 来描写空间各点的位置,则 $\Phi$ 是 $x, y, z$ 的三元函数,即

$$\Phi = \Phi(x, y, z), \quad (\text{B.1})$$

如果标量 $\Phi$ 指的是气压 $P$ ,这个标量场就叫做气压场;如果标量 $\Phi$ 指的是温度 $T$ ,这个标量场就叫做温度场,等等。在电学中最重要的标量场例子是电势。

研究任何标量场时,人们常常引入“等值面”的概念。所谓等值面,就是下列方程式的轨迹:

$$\Phi(x, y, z) = \text{常量}. \quad (\text{B.2})$$

(在二维空间里轨迹是曲线,所以叫“等值线”。在三维空间里轨迹形成曲面,所以叫“等值面”。)如气压场中的等压面,电场中的等势面,都是等值面。

#### (2) 矢量场

所谓矢量场,就是在空间各点存在着一个矢量,它的大小和方向是空间位置的函数。譬如我们用直角坐标 $(x, y, z)$ 来描写空间各点的位置,则矢量 $A$ 是 $x, y, z$ 的三元函数,即

$$\mathbf{A} = \mathbf{A}(x, y, z). \quad (\text{B.3})$$

矢量 $A$ 还可以分解成三个分量 $A_x, A_y, A_z$ ,每个分量都是 $x, y, z$ 的函数,所以若将(B.3)式写成分量形式的话,它实际包含了三个函数式:

$$\begin{cases} A_x = A_x(x, y, z), \\ A_y = A_y(x, y, z), \\ A_z = A_z(x, y, z). \end{cases} \quad (\text{B.4})$$

如果矢量 $A$ 指的是流体的流速 $v$ ,这矢量场就叫做流速场;如果矢量 $A$ 指的是电场强度 $E$ ,这矢量场就叫做电场,●等等。

---

● 这里所说的“电场”和其它矢量场(如流速场)一样,是个偏重数学的概念。物理中所说的“电场”还具有不同的含义,它常常指的是一种物理实在,是物质存在的一种形式。

研究任何矢量场时,人们常引入“场线”和“场管”的概念。所谓场线,就是这样一些有方向的曲线,其上每一点的切线方向都和该点的场矢量  $A$  的方向一致。由一束场线围成的管状区域,叫做场管。如流速场中的流线,电场中的电场线都是场线,流速场中的流管,电场中的电场管都是场管,等等。

## 2. 标量场的梯度

### (1) 定义

平常所谓“梯度”是指一个空间位置函数的变化率,在数学上就是它的微商。对于多元函数,它对每个空间坐标变量都有一个偏微商,如  $\frac{\partial \Phi}{\partial x}, \frac{\partial \Phi}{\partial y}, \frac{\partial \Phi}{\partial z}$  等。这些偏微商表示标量场

$\Phi(x, y, z)$  沿三个坐标方向的变化率。如果要问  $\Phi(x, y, z)$  沿任意方向  $\Delta l$  的变化率是多少呢?如图 B-1 所示,  $P$  是标量场中的某个点,设此点标量场的数值是  $\Phi(P)$ , 由  $P$  点引一个位移矢量  $\Delta l$ , 到达附近的另一点  $Q$ , 设  $Q$  点标量场的数值为  $\Phi(Q) = \Phi(P) + \Delta\Phi$ , 令  $Q$  点向  $P$  点趋近,  $\Delta l \rightarrow 0$ , 则标量场沿  $\Delta l$  方向的变化率为

$$\frac{\partial \Phi}{\partial l} = \lim_{\Delta l \rightarrow 0} \frac{\Delta \Phi}{\Delta l}, \quad (\text{B.5})$$

$\frac{\partial \Phi}{\partial l}$  叫做标量场  $\Phi$  在  $P$  点沿  $\Delta l$  方向的方向微商。

显然,在同一地点  $P$ ,  $\Phi$  沿不同方向的方向微商一般说来是不同的。那么沿哪个方向的方向微商最大呢?如图 B-1 所示,作通过  $P, Q$  两点  $\Phi$  的等值面,在两等值面上标量场的数值分别是  $\Phi(P)$  和  $\Phi(P) + \Delta\Phi$ 。在局部范围看来,两等值面近似平行。通过  $P$  点引等值面的法线与另一等值面交于  $Q'$  点。法线方向的位移矢量  $\Delta n = \overrightarrow{PQ'}$  是两等值面间最短的位移矢量,其它方向的位移矢量都比  $\Delta n$  长。例如对于上述位移矢量  $\Delta l$ , 设它与  $\Delta n$  的夹角为  $\theta$ , 则由图 B-1 不难看出,

$$\Delta n = \Delta l \cos \theta \leq \Delta l, \quad \text{或} \quad \Delta l = \frac{\Delta n}{\cos \theta} \geq \Delta n.$$

沿  $\Delta n$  方向的方向微商为

$$\frac{\partial \Phi}{\partial n} = \lim_{\Delta n \rightarrow 0} \frac{\Delta \Phi}{\Delta n} = \lim_{\Delta l \rightarrow 0} \frac{\Delta \Phi}{\Delta l} \frac{1}{\cos \theta} = \frac{\partial \Phi}{\partial l} \frac{1}{\cos \theta} \geq \frac{\partial \Phi}{\partial l}. \quad (\text{B.6})$$

由此可见,沿  $\Delta n$  方向的方向微商比任何其它方向的方向微商都大。

标量场的梯度定义为这样一个矢量,它沿方向微商最大的方向(即  $\Delta n$  方向),数值上等于这个最大的方向微商(即  $\frac{\partial \Phi}{\partial n}$ )。标量场  $\Phi$  的梯度通常记

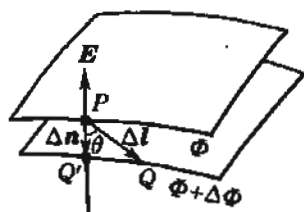


图 B-1 标量场的梯度

作  $\text{grad}\phi$  或  $\nabla\phi$ . 根据上面的分析可知,  $\phi$  的梯度的方向总是与  $\phi$  的等值面垂直的。

标量场的梯度是个矢量场。例如, 电场中电势  $U$  是个标量场, 它的负梯度等于场强  $E$ , 是个矢量场。

## (2) 坐标表示式

在正交曲线坐标系中标量场梯度的一般表示式为

$$\begin{aligned}\nabla U &= \frac{\partial U}{\partial l_1} \mathbf{e}_1 + \frac{\partial U}{\partial l_2} \mathbf{e}_2 + \frac{\partial U}{\partial l_3} \mathbf{e}_3, \\ &= \frac{1}{h_1} \frac{\partial U}{\partial u_1} \mathbf{e}_1 + \frac{1}{h_2} \frac{\partial U}{\partial u_2} \mathbf{e}_2 + \frac{1}{h_3} \frac{\partial U}{\partial u_3} \mathbf{e}_3.\end{aligned}\quad (\text{B. 7})$$

$u_1, u_2, u_3, l_1, l_2, l_3, h_1, h_2, h_3$  的含义见附录 A 中 6-8 节。在各种坐标系中的具体表示式如下:

直角坐标系

$$\nabla U = \frac{\partial U}{\partial x} \mathbf{i} + \frac{\partial U}{\partial y} \mathbf{j} + \frac{\partial U}{\partial z} \mathbf{k}, \quad (\text{B. 8})$$

柱坐标系

$$\nabla U = \frac{\partial U}{\partial \rho} \mathbf{e}_\rho + \frac{1}{\rho} \frac{\partial U}{\partial \varphi} \mathbf{e}_\varphi + \frac{\partial U}{\partial z} \mathbf{e}_z, \quad (\text{B. 9})$$

球坐标系

$$\nabla U = \frac{\partial U}{\partial r} \mathbf{e}_r + \frac{1}{r} \frac{\partial U}{\partial \theta} \mathbf{e}_\theta + \frac{1}{r \sin \theta} \frac{\partial U}{\partial \varphi} \mathbf{e}_\varphi. \quad (\text{B. 10})$$

## 3. 矢量场的通量和散度 高斯定理

### (1) 定义

矢量场  $A$  通过一个截面  $S$  的通量  $\Phi_A$  定义为下列面积分:

$$\Phi_A = \iint_{(S)} \mathbf{A} \cdot d\mathbf{S} = \iint_{(S)} A \cos \theta dS, \quad (\text{B. 11})$$

式中  $\theta$  为  $A$  与面元  $dS$  的法线  $n$  之间夹角,  $d\mathbf{S} = n dS$ . 如流速场中的流量, 电场和磁场中的电通量、磁通量, 都属于“通量”的概念。

令  $S$  为一闭合曲面, 它包含的体积为  $\Delta V$ , 设想  $S$  面逐渐缩小到空间某点  $P$ . 用  $\Phi_A$  代表矢量场  $A$  在闭合面  $S$  上的通量:

$$\Phi_A = \oiint_{(S)} \mathbf{A} \cdot d\mathbf{S}.$$

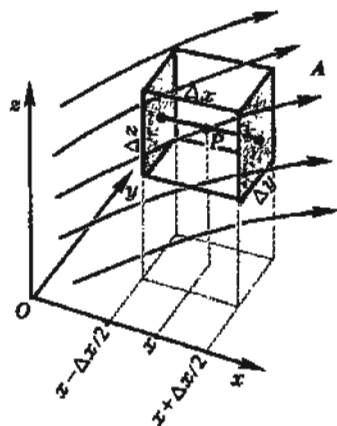
当  $\Delta V \rightarrow 0$ ,  $\Phi_A$  也趋于 0. 若两者之比有一极限, 则这极限值为矢量场  $A$  在  $P$  点的散度, 记作  $\text{div} A$  或  $\nabla \cdot A$ :

$$\nabla \cdot A = \lim_{\Delta V \rightarrow 0} \frac{\Phi_A}{\Delta V} = \lim_{\Delta V \rightarrow 0} \frac{\oiint_{(S)} \mathbf{A} \cdot d\mathbf{S}}{\Delta V}. \quad (\text{B. 12})$$

矢量场的散度是个标量场。

## (2) 散度的坐标表示式

上述散度的定义式(B.12)是与坐标的选取无关的,下面我们来研究它的直角坐标表示式。如图B-2,以P点为中心取一个棱边分别与 $x$ 、 $y$ 、 $z$ 轴平行的平行六面体,设边长分别为 $\Delta x$ 、 $\Delta y$ 、 $\Delta z$ 。现在来计算通过这平行六面体表面的通量。



图B-2 散度直角坐标表示式的推导

先考虑与 $x$ 轴垂直的一对表面。它们的面积都是 $\Delta y \Delta z$ 。设P点的坐标为 $x, y, z$ ,则这一对表面的 $x$ 坐标分别为 $x - \Delta x/2$ 和 $x + \Delta x/2$ ,从而在这一对表面上矢量场分别为 $A(x - \Delta x/2, y, z)$ 和 $A(x + \Delta x/2, y, z)$ 。在计算通量的时候,只有与表面垂直的分量,即 $A_x$ 分量起作用,它们在两表面上的数值分别是 $A_x(x - \Delta x/2, y, z)$ 和 $A_x(x + \Delta x/2, y, z)$ ,于是穿过这一对表面的通量分别是 $A_x(x - \Delta x/2, y, z) \Delta x \Delta y$ 和 $A_x(x + \Delta x/2, y, z) \Delta x \Delta y$ ,二者一进一出,它们的代数和为

$$\Phi_x = A_x(x + \Delta x/2, y, z) \Delta y \Delta z - A_x(x - \Delta x/2, y, z) \Delta y \Delta z.$$

围绕P点将 $A_x$ 按泰勒级数展开:

$$A_x(x \pm \Delta x/2, y, z) = A_x(x, y, z) \pm \frac{\partial A_x}{\partial x} \frac{\Delta x}{2} + \text{高次项},$$

于是

$$\begin{aligned} \Phi_x &= \left[ A_x(x, y, z) + \frac{\partial A_x}{\partial x} \frac{\Delta x}{2} \right] \Delta y \Delta z \\ &\quad - \left[ A_x(x, y, z) - \frac{\partial A_x}{\partial x} \frac{\Delta x}{2} \right] \Delta y \Delta z + \text{高次项}, \end{aligned}$$

即

$$\Phi_x = \frac{\partial A_x}{\partial x} \Delta x \Delta y \Delta z + \text{高次项}.$$

同理可以得到穿过与 $y$ 轴和 $z$ 轴垂直的两对表面的通量代数和分别为

$$\Phi_y = \frac{\partial A_y}{\partial y} \Delta x \Delta y \Delta z + \text{高次项},$$

$$\Phi_z = \frac{\partial A_z}{\partial z} \Delta x \Delta y \Delta z + \text{高次项}.$$

最后我们得到穿过平行六面体六个表面的通量代数总和为

$$\begin{aligned}\Phi &= \oint\limits_{(\text{平行六面体表面})} \mathbf{A} \cdot d\mathbf{S} = \Phi_x + \Phi_y + \Phi_z \\ &= \left( \frac{\partial A_x}{\partial x} + \frac{\partial A_y}{\partial y} + \frac{\partial A_z}{\partial z} \right) \Delta x \Delta y \Delta z + \text{高次项},\end{aligned}$$

因为平行六面体的体积  $\Delta V = \Delta x \Delta y \Delta z$ , 按照散度的定义 (B. 12) 式, 得

$$\nabla \cdot \mathbf{A} = \lim_{\Delta V \rightarrow 0} \frac{\oint \mathbf{A} \cdot d\mathbf{S}}{\Delta V} = \lim_{\substack{\Delta x \rightarrow 0 \\ \Delta y \rightarrow 0 \\ \Delta z \rightarrow 0}} \frac{\left( \frac{\partial A_x}{\partial x} + \frac{\partial A_y}{\partial y} + \frac{\partial A_z}{\partial z} \right) \Delta x \Delta y \Delta z + \text{高次项}}{\Delta x \Delta y \Delta z},$$

即  $\nabla \cdot \mathbf{A} = \frac{\partial A_x}{\partial x} + \frac{\partial A_y}{\partial y} + \frac{\partial A_z}{\partial z}.$  (B. 13)

这就是散度的直角坐标表示式。下面我们不加推导地写出散度在其它常用坐标中的表示式, 以备参考。

柱坐标系  $\nabla \cdot \mathbf{A} = \frac{1}{\rho} \frac{\partial}{\partial \rho} (\rho A_\rho) + \frac{1}{\rho} \frac{\partial A_\varphi}{\partial \varphi} + \frac{\partial A_z}{\partial z},$  (B. 14)

球坐标系  $\nabla \cdot \mathbf{A} = \frac{1}{r^2} \frac{\partial}{\partial r} (r^2 A_r) + \frac{1}{r \sin \theta} \frac{\partial}{\partial \theta} (\sin \theta A_\theta) + \frac{1}{r \sin \theta} \frac{\partial A_\varphi}{\partial \varphi}.$  (B. 15)

### (3) 高斯定理

在矢量场  $\mathbf{A}(x, y, z)$  中取任意闭合面  $S$ , 用  $V$  代表它所包围的体积。如图 B-3a, 用一曲面  $D$  (下面叫它“隔板”) 把体积  $V$  及其表面  $S$  分为两部分:  $V_1$  和  $V_2$ , 以及  $S_1'$  和  $S_2'$ , 这里  $V_1 + V_2 = V$ ,  $S_1' + S_2' = S$ , 体积  $V_1$  的全部表面为  $S_1' + D \equiv S_1$ , 体积  $V_2$  的全部表面为  $S_2' + D \equiv S_2$ . 穿过  $S_1$  和  $S_2$  的通量分别是

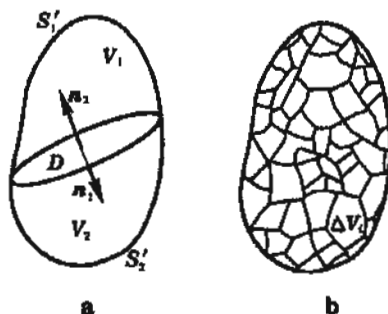


图 B-3 高斯定理的证明

$$\begin{aligned}\Phi_{A1} &= \oint\limits_{(S_1)} \mathbf{A} \cdot d\mathbf{S}_1 = \oint\limits_{(S_1')} \mathbf{A} \cdot d\mathbf{S}_1 + \oint\limits_{(D)} \mathbf{A} \cdot d\mathbf{S}_1, \\ \Phi_{A2} &= \oint\limits_{(S_2)} \mathbf{A} \cdot d\mathbf{S}_2 = \oint\limits_{(S_2')} \mathbf{A} \cdot d\mathbf{S}_2 + \oint\limits_{(D)} \mathbf{A} \cdot d\mathbf{S}_2.\end{aligned}$$

在上两式中右端的第二项  $\oint\limits_{(D)} \mathbf{A} \cdot d\mathbf{S}_1$  和  $\oint\limits_{(D)} \mathbf{A} \cdot d\mathbf{S}_2$  虽然都是矢量场  $\mathbf{A}$  穿过“隔板” $D$  的通量, 但对于闭合曲面  $S_1$  和  $S_2$  来说, 在  $D$  上的外法线  $\mathbf{n}_1$  和  $\mathbf{n}_2$  方向相反, 所以这两项绝对值相等, 正负号相反。于是

$$\Phi_{A1} + \Phi_{A2} = \oint\limits_{(S_1)} \mathbf{A} \cdot d\mathbf{S}_1 + \oint\limits_{(S_2)} \mathbf{A} \cdot d\mathbf{S}_2 = \oint\limits_{(S)} \mathbf{A} \cdot d\mathbf{S} = \Phi_A.$$



这就是说,将闭合曲面  $S$  所包围的空间用“隔板”隔开,穿过两部分通量的代数和不变,它仍等于穿过  $S$  的总通量  $\Phi_A$ 。

以上结论不难推广到把  $V$  分割成更多块的情形(见图 B-3b)。这时我们有

$$\Phi_A = \sum_{i=1}^n \Phi_{A_i}. \quad (\text{B. 16})$$

如果把体积  $V$  无限分割下去,使每块体积  $\Delta V_i$  都趋于 0,则按照散度的定义,

$$\Phi_{A_i} = \oiint_{(S_i)} \mathbf{A} \cdot d\mathbf{S}_i = (\nabla \cdot \mathbf{A})_i \Delta V_i,$$

其中  $(\nabla \cdot \mathbf{A})_i$  是  $\mathbf{A}$  的散度在体积元  $\Delta V_i$  内的数值。把上式代入式(B. 16):

$$\Phi_A = \oiint_{(S)} \mathbf{A} \cdot d\mathbf{S} \approx \sum_{i=1}^n (\nabla \cdot \mathbf{A})_i \Delta V_i,$$

取极限后右端变为体积分:

$$\oiint_{(S)} \mathbf{A} \cdot d\mathbf{S} = \iiint_{(V)} \nabla \cdot \mathbf{A} dV. \quad (\text{B. 17})$$

(B. 17) 式表明:矢量场通过任意闭合曲面  $S$  的通量等于它所包围的体积  $V$  内散度的积分。这就是矢量场论中的高斯定理。

高斯定理是矢量场论中重要的定理之一,利用它可以把面积分化为体积分,或反过来把体积分化为面积分。应注意,这是一个数学的定理,不要和第一章 §4 中静电场的高斯定理混淆!静电场高斯定理成立的前提是库仑定律(即平方反比律),而这个数学上的高斯定理对场的物理规律没有要求,只要求场函数是连续可微的。

#### 4. 矢量场的环量和旋度 斯托克斯定理

##### (1) 定义

矢量场  $\mathbf{A}$  沿闭合回路的线积分称为环量,用  $\Gamma_A$  表示环量,则有:

$$\Gamma_A = \oint_{(L)} \mathbf{A} \cdot d\mathbf{l}. \quad (\text{B. 18})$$

令  $\Delta S$  为闭合曲线  $L$  包围的面积,  $\mathbf{n}$  为  $\Delta S$  的右旋单位法向矢量。设想回路  $L$  逐渐缩小,最后缩到空间某点  $P$ 。当  $\Delta S \rightarrow 0$  时,  $\Gamma_A$  也趋于 0。若两者之比有一极限,则这极限值为矢量场  $\mathbf{A}$  的旋度(它是个矢量)在  $\mathbf{n}$  上的投影。 $\mathbf{A}$  的旋度记作  $\text{curl} \mathbf{A}$  或  $\text{rot} \mathbf{A}$ , 或  $\nabla \times \mathbf{A}$ 。上述定义可写作

$$(\nabla \times \mathbf{A})_n = \lim_{\Delta S \rightarrow 0} \frac{\Gamma_A}{\Delta S} = \lim_{\Delta S \rightarrow 0} \frac{\oint_{(L)} \mathbf{A} \cdot d\mathbf{l}}{\Delta S}. \quad (\text{B. 19})$$

矢量场的旋度也是个矢量场。

## (2) 旋度的坐标表示式

下面我们来研究旋度的直角坐标表示式。先看旋度的  $x$  分量。如图 B-4a, 取一个与  $x$  轴垂直的矩形回路  $L_x$ , 它的边分别与  $y, z$  轴平行, 边长为  $\Delta y$  和  $\Delta z$ 。取回路  $L_x$  的环绕方向, 使它的右旋法向矢量  $n$  指向  $+x$  方向。设回路的中心  $P$  点的坐标为  $x, y, z$ , 则在 1、2、3、4 四边上矢量场  $A$  沿回路元的平行分量是  $A_x(x, y + \Delta y/2, z)$ ,  $-A_y(x, y, z + \Delta z/2)$ ,  $-A_x(x, y - \Delta y/2, z)$ ,  $A_y(x, y, z - \Delta z/2)$ 。所以

$$\oint_{(L_x)} A \cdot dl = A_x(x, y + \Delta y/2, z) \Delta z \\ - A_y(x, y, z + \Delta z/2) \Delta y \\ - A_x(x, y - \Delta y/2, z) \Delta z \\ + A_y(x, y, z - \Delta z/2) \Delta y,$$

围绕  $P$  点将  $A_y, A_x$  按泰勒级数展开:

$$A_y(x, y, z \pm \Delta z/2) = A_y(x, y, z) \\ \pm \frac{\partial A_y}{\partial z} \frac{\Delta z}{2} + \text{高次项},$$

$$A_x(x, y \pm \Delta y/2, z) = A_x(x, y, z) \\ \pm \frac{\partial A_x}{\partial y} \frac{\Delta y}{2} + \text{高次项},$$

代入前式, 得

$$\oint_{(L_x)} A \cdot dl = \left( \frac{\partial A_x}{\partial y} - \frac{\partial A_y}{\partial z} \right) \Delta y \Delta z + \text{高次项}.$$

因为回路  $L_x$  包围的矩形面积为  $\Delta S = \Delta y \Delta z$ , 按照旋度的定义 (B.19) 式, 得

$$(\nabla \times A)_x = \lim_{\Delta S \rightarrow 0} \frac{\oint_{(L_x)} A \cdot dl}{\Delta S} \\ = \lim_{\substack{\Delta x \rightarrow 0 \\ \Delta y \rightarrow 0 \\ \Delta z \rightarrow 0}} \frac{\left( \frac{\partial A_x}{\partial y} - \frac{\partial A_y}{\partial z} \right) \Delta y \Delta z + \text{高次项}}{\Delta y \Delta z} = \frac{\partial A_x}{\partial y} - \frac{\partial A_y}{\partial z}. \quad (\text{B.20})$$

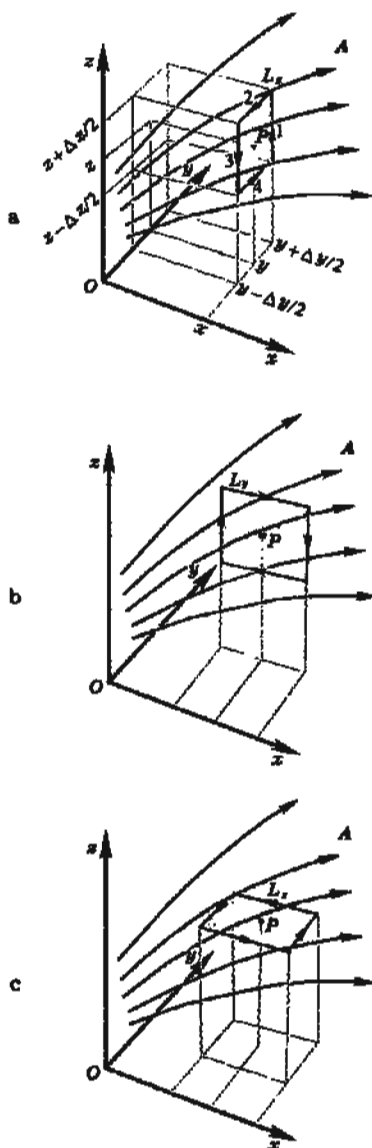


图 B-4 旋度直角坐标表示式的推导

同理可以得到旋度的  $y, z$  两个分量(参见图 B-4b 和 c)。现将全部分量的直角坐标表示罗列如下:

$$\begin{cases} (\nabla \times \mathbf{A})_x = \frac{\partial A_z}{\partial y} - \frac{\partial A_y}{\partial z}, \\ (\nabla \times \mathbf{A})_y = \frac{\partial A_x}{\partial z} - \frac{\partial A_z}{\partial x}, \\ (\nabla \times \mathbf{A})_z = \frac{\partial A_y}{\partial x} - \frac{\partial A_x}{\partial y}. \end{cases} \quad (\text{B. 21})$$

旋度矢量的直角坐标表示式为●

$$\begin{aligned} \nabla \times \mathbf{A} &= \left( \frac{\partial A_z}{\partial y} - \frac{\partial A_y}{\partial z} \right) \mathbf{i} + \left( \frac{\partial A_x}{\partial z} - \frac{\partial A_z}{\partial x} \right) \mathbf{j} + \left( \frac{\partial A_y}{\partial x} - \frac{\partial A_x}{\partial y} \right) \mathbf{k} \\ &= \begin{pmatrix} \mathbf{i} & \mathbf{j} & \mathbf{k} \\ \frac{\partial}{\partial x} & \frac{\partial}{\partial y} & \frac{\partial}{\partial z} \\ A_x & A_y & A_z \end{pmatrix}. \end{aligned} \quad (\text{B. 22})$$

下面不加推导地给出旋度在其它常用坐标中的表示式,以备参考。

柱坐标系

$$\nabla \times \mathbf{A} = \left( \frac{1}{\rho} \frac{\partial A_z}{\partial \varphi} - \frac{\partial A_\varphi}{\partial z} \right) \mathbf{e}_\rho + \left( \frac{\partial A_\rho}{\partial z} - \frac{\partial A_z}{\partial \rho} \right) \mathbf{e}_\varphi + \frac{1}{\rho} \left( \frac{\partial(\rho A_\varphi)}{\partial \rho} - \frac{\partial A_\rho}{\partial \varphi} \right) \mathbf{e}_z, \quad (\text{B. 23})$$

球坐标系

$$\begin{aligned} \nabla \times \mathbf{A} &= \frac{1}{r \sin \theta} \left[ \frac{\partial}{\partial \theta} (\sin \theta A_\varphi) - \frac{\partial A_\varphi}{\partial \varphi} \right] \mathbf{e}_r + \left[ \frac{1}{r \sin \theta} \frac{\partial A_r}{\partial \varphi} - \frac{1}{r} \frac{\partial(r A_\varphi)}{\partial r} \right] \mathbf{e}_\theta \\ &\quad + \frac{1}{r} \left[ \frac{\partial(r A_\theta)}{\partial r} - \frac{\partial A_r}{\partial \theta} \right] \mathbf{e}_\varphi. \end{aligned} \quad (\text{B. 24})$$

### (3) 斯托克斯定理

在矢量场  $\mathbf{A}(x, y, z)$  中取任意闭合回路  $L$  (见图 B-5a)。现用一条曲

● 我们已多次使用了符号“ $\nabla$ ”,但一直是将它和一个场函数  $\phi$  或  $A$  连起来写,而未说明它单独代表什么。其实  $\nabla$  是个矢量性质的算符,叫做梯度算符或纳布拉算符,它的直角坐标表示式为

$$\nabla = \mathbf{i} \frac{\partial}{\partial x} + \mathbf{j} \frac{\partial}{\partial y} + \mathbf{k} \frac{\partial}{\partial z}.$$

我们可以把  $\nabla$  形式地“乘”在一个标量场  $\phi$  上,成为它的梯度  $\nabla \phi$ ,也可以把  $\nabla$  形式地“点乘”或“叉乘”在一个矢量场  $\mathbf{A}$  上,成为它的散度  $\nabla \cdot \mathbf{A}$  或旋度  $\nabla \times \mathbf{A}$ 。不难验证,这样做的结果,我们得到的正是前面的(B.7)、(B.13)和(B.22)式。由此也可以看出,把梯度、散度和旋度写成  $\nabla \phi$ 、 $\nabla \cdot \mathbf{A}$ 、 $\nabla \times \mathbf{A}$  的依据。

线搭在回路  $L$  上的  $M$ 、 $N$  两点之间。 $M$  和  $N$  把  $L$  分割为  $L_1'$  和  $L_2'$  两部分,  $L_1'$  和  $MN$  组成新的小闭合回路  $L_1$ ,  $L_2'$  和  $NM$  组成新的小闭合回路  $L_2$ ,  $L_1$  和  $L_2$  的环绕方向一致。沿  $L_1$  和  $L_2$  的环量分别是

$$\Gamma_{A1} = \oint_{(L_1)} \mathbf{A} \cdot d\mathbf{l} = \int_{(L_1')} \mathbf{A} \cdot d\mathbf{l} + \int_M^N \mathbf{A} \cdot d\mathbf{l},$$

$$\Gamma_{A2} = \oint_{(L_2)} \mathbf{A} \cdot d\mathbf{l} = \int_{(L_2')} \mathbf{A} \cdot d\mathbf{l} + \int_N^M \mathbf{A} \cdot d\mathbf{l}.$$

故

$$\begin{aligned} \Gamma_{A1} + \Gamma_{A2} &= \int_{(L_1')} \mathbf{A} \cdot d\mathbf{l} + \int_{(L_2')} \mathbf{A} \cdot d\mathbf{l} \\ &= \oint_{(L)} \mathbf{A} \cdot d\mathbf{l} = \Gamma_A, \end{aligned}$$

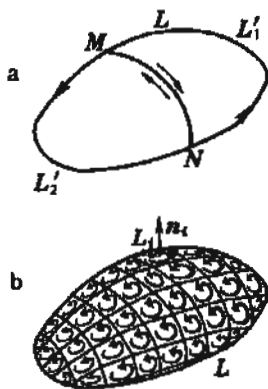


图 B-5 斯托克斯定理的证明

即矢量在闭合回路  $L$  上的环量等于分割出来的两个闭合回路  $L_1$  和  $L_2$  上环量之和。这个结论不难推广到更多个小回路。如图 B-5b, 用许多曲线, 像织成的网子一样绷在回路  $L$  的“框架”上, 则每个网眼是一小闭合回路  $L_i$ 。令它们的环绕方向都一致, 用  $\Gamma_{Ai}$  代表  $L_i$  上的环量, 则有

$$\Gamma_A = \sum_{i=1}^n \Gamma_{Ai}. \quad (\text{B. 25})$$

这就是说,  $L$  上的环量是由各局部的环量累积起来的。

如果把上述分割过程无限继续下去, 使每个小回路的面积  $\Delta S_i$  都趋于 0, 则按照旋度的定义,

$$\Gamma_{Ai} = \oint_{(L_i)} \mathbf{A} \cdot d\mathbf{l} = (\nabla \times \mathbf{A})_{n_i} \Delta S_i = (\nabla \times \mathbf{A}) \cdot \Delta \mathbf{S}_i,$$

这里  $(\nabla \times \mathbf{A})_{n_i}$  代表旋度  $\nabla \times \mathbf{A}$  在  $\Delta S_i$  的右旋单位法线矢量  $\mathbf{n}_i$  上的投影,  $\Delta \mathbf{S}_i = \mathbf{n}_i \Delta S_i$  是矢量面元。代入 (B. 25) 式, 得

$$\Gamma_A = \oint_{(L)} \mathbf{A} \cdot d\mathbf{l} = \sum_{i=1}^n (\nabla \times \mathbf{A}) \cdot \Delta \mathbf{S}_i.$$

取极限后, 右端变为面积分:

$$\oint_{(L)} \mathbf{A} \cdot d\mathbf{l} = \iint_{(S)} (\nabla \times \mathbf{A}) \cdot d\mathbf{S}. \quad (\text{B. 26})$$

(B. 26) 式表明: 矢量场在任意闭合回路  $L$  上的环量等于以它为边界的曲面  $S$  上旋度的积分。这就是斯托克斯定理。

斯托克斯定理和高斯定理一样, 也是矢量场论中的一个重要定理。利用

它可以把线积分化为面积分,或反过来把面积分化为线积分。

## 5. 一些公式

下面再给出一些常用的公式,推导从略。读者可用直角坐标表示式直接验证。

### (1) 场量乘积的微分公式

梯度

$$\nabla(\Phi\Psi) = (\nabla\Phi)\Psi + \Phi(\nabla\Psi), \quad (\text{B. 27})$$

$$\nabla(\mathbf{A}\cdot\mathbf{B}) = (\mathbf{A}\cdot\nabla)\mathbf{B} + (\mathbf{B}\cdot\nabla)\mathbf{A} + \mathbf{A}\times(\nabla\times\mathbf{B}) + \mathbf{B}\times(\nabla\times\mathbf{A}). \quad (\text{B. 28})$$

散度

$$\nabla\cdot(\Phi\mathbf{A}) = \nabla\Phi\cdot\mathbf{A} + \Phi\nabla\cdot\mathbf{A}, \quad (\text{B. 29})$$

$$\nabla\cdot(\mathbf{A}\times\mathbf{B}) = \mathbf{B}\cdot\nabla\times\mathbf{A} - \mathbf{A}\cdot\nabla\times\mathbf{B}. \quad (\text{B. 30})$$

旋度

$$\nabla\times(\Phi\mathbf{A}) = \Phi\nabla\times\mathbf{A} + \nabla\Phi\times\mathbf{A}, \quad (\text{B. 31})$$

$$\nabla\times(\mathbf{A}\times\mathbf{B}) = (\mathbf{B}\cdot\nabla)\mathbf{A} - (\mathbf{A}\cdot\nabla)\mathbf{B} + \mathbf{A}(\nabla\cdot\mathbf{B}) - \mathbf{B}(\nabla\cdot\mathbf{A}). \quad (\text{B. 32})$$

其中  $\Phi$ 、 $\Psi$  是任意标量场,  $\mathbf{A}$ 、 $\mathbf{B}$  是任意矢量场。<sup>●</sup>

### (2) 二阶微分的公式

$$\nabla\times\nabla\Phi = 0, \quad (\text{B. 33})$$

$$\nabla\cdot\nabla\times\mathbf{A} = 0, \quad (\text{B. 34})$$

$$\nabla\times(\nabla\times\mathbf{A}) = \nabla(\nabla\cdot\mathbf{A}) - \nabla\cdot\nabla\mathbf{A}, \quad (\text{B. 35})$$

其中算符  $\nabla\cdot\nabla$  常写作  $\nabla^2$ , 叫做拉普拉斯算符。

## 6. 矢量场的类别和分解

### (1) 有散场和无散场

若一矢量场在空间某范围内散度为 0, 我们就说它在此范围内无源, 或它是无散场; 若散度不为 0, 则这矢量场是有源的, 或它是有散场。

(B. 34) 式表明, 任何矢量场  $\mathbf{A}$  的旋度  $\nabla\times\mathbf{A}$  永远是个无散场。反之亦然, 任何无散场  $\mathbf{B}$  可以表示成某个矢量场  $\mathbf{A}$  的旋度:

$$\mathbf{B} = \nabla\times\mathbf{A}, \quad \nabla\cdot\mathbf{B} = 0. \quad (\text{B. 36})$$

证明从略。

### (2) 有旋场和无旋场

若一矢量场在空间某范围内旋度为 0, 我们就说它在此范围内无旋, 或

<sup>●</sup> 在 (B. 27) 和 (B. 31) 式中出现  $(\mathbf{B}\cdot\nabla)\mathbf{A}$  一类的项, 它代表矢量场  $\mathbf{B}$  和矢量场的梯度  $\nabla\mathbf{A}$  的点乘, 后者是个张量。

它是无旋场;若旋度不为 0,则这矢量场是有旋的,或它是有旋场。

(B.33) 式表明,任何标量场  $\Phi$  的梯度  $\nabla\Phi$  永远是个无旋场。反之亦然,任何无旋场  $A$  可以表成某个标量场  $\Phi$  的梯度:

$$A = \nabla\Phi, \quad \nabla \times A = 0. \quad (\text{B.37})$$

$\Phi$  为无旋场  $A$  的势函数,故无旋场又称为势场。

### (3) 谐和场

若一矢量场  $A$  在某空间范围内既无散又无旋,则这矢量场称为谐和场。

因谐和场无旋,它也是势场:

$$\nabla \times A = 0, \quad A = \nabla\Phi,$$

又因它同时无散:

$$\nabla \cdot A = 0,$$

故

$$\nabla \cdot \nabla\Phi = \nabla^2 \Phi = 0. \quad (\text{B.38})$$

上式叫做拉普拉斯方程,即谐和场的势函数满足拉普拉斯方程。

### (4) 一般矢量场的分解

在普遍的情形下,一个矢量场  $A$  可以既是有旋的,又是有散的。在这种情况下  $A$  可以分解为两部分:

$$A = A_{\text{势}} + A_{\text{旋}}, \quad (\text{B.39})$$

其中  $A_{\text{势}}$  是势场,即无旋场;  $A_{\text{旋}}$  是无散的有旋场。但上述分解并不唯一,其中可以相差一个任意的谐和场。

现以电磁场为例,麦克斯韦方程组(6.10)中的(I)、(II)两式表明,在非恒定的情况下,电场既有散度,又有旋度。这时电场  $E$  可分解为势场和无散的有旋场:

$$E = E_{\text{势}} + E_{\text{旋}}.$$

在恒定的状态下,  $\nabla \times E_{\text{势}} = 0$ ,  $E_{\text{旋}} = 0$ , 电场  $E$  可以写成某个势函数  $\Phi$  的梯度,这势函数  $\Phi$  正是电势  $U$  的负值,即

$$E = -\nabla U.$$

麦克斯韦方程组(6.10)中的(III)式表明,磁感应强度  $B$  永远是个无散场,故它可写作某个矢量  $A$  的旋度,即

$$B = \nabla \times A, \quad (\text{B.40})$$

这个  $A$  就是磁矢势。